

## تعیین مدل جذب سیال توسط پلیمرهای بیش اندوز T-A200 و T-A100

سهیلا ابراهیمی، مهدی همایی و ابراهیم و اشتقائی فراهانی

به ترتیب دانشجوی دکتری رشته خاکشناسی، دانشیار گروه خاکشناسی و دانشیار گروه مهندسی شیمی دانشگاه تربیت مدرس  
s\_ebrahimi@modares.ac.ir

برای حالت بینایی  $n=1$  می‌باشد. در انتخاب پلیمر مناسب، با بررسی منحنی جذب سیال توسط پلیمر، تناسب آن برای هدف مورد نظر ارزیابی می‌گردد.

### مواد و روش‌ها

برای بررسی مدل جذبی سیال توسط پلیمر، رفتار تورمی زلها با زمان، مورد ارزیابی قرار گیرد. بدین منظور نمونه‌های پلیمرهای ابرجاذب T-A200 و T-A100 استر شده توسط پژوهشگاه پلیمر و پتروشیمی ایران، به طور کامل در آون خشک شده و با الک مشن ۱-۲ میلیمتر غربال شدن. تورم آزاد نمونه‌ها (ظرفیت و نرخ تورم) با روش کیسه چای بررسی شد(۲). به این منظور، ابتدا نمونه‌های تهیه شده در مقدار آب کافی قرار داده شد تا ناخالصی‌های احتمالی و مونومرهای واکنش بنافته از شبکه پلیمری خارج شود. سپس نمونه‌ها در آون تا خشک شدن کامل قرار گرفت. ۰/۵ گرم از نمونه‌های خشک شده، توزین گردیده و در صافی‌های پارچه‌ای با قدرت ناچیز جذب آب قرار داده و در محیط تورم شامل اولن ۲۵۰ سی سی محتوی آب مقطر غوطه‌ور گردید. پس از شروع آزمایش، هر یک از صافی‌ها ۱۰ مرتبه در حالت تر، در شرایط مشابه آزمون، توزین شده و میانگین وزن آن محاسبه گردید. پس از ۴۸ ساعت نمونه‌های متورم شده دوباره وزن شدند. درصد نهایی جذب به صورت زیر محاسبه شد:

$$\text{رابطه (۲)} \quad \frac{M - M_0}{M_0} \times 100 = \frac{M_{eq}}{M_0} = \text{درصد نهایی تورم}$$

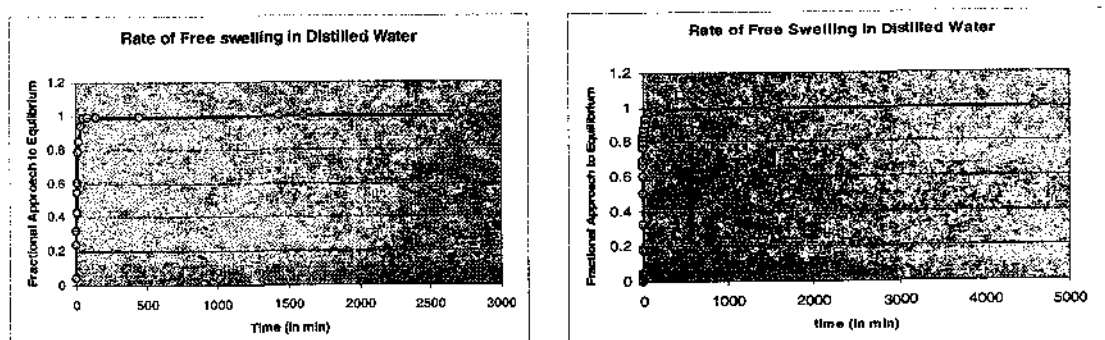
این آزمایش‌ها ۳ بار تکرار شده و مقادیر مندرج در منحنی‌ها میانگین نتایج مذکور می‌باشد.

### مقدمه

کشور ایران با اقلیم خشک و نیمه خشک افزون بر بارندگی اندک، دارای توزیع نامناسبی از آن نیز می‌باشد. از طرفی بخش کشاورزی، عمدۀ ترین مصرف کننده منابع محدود آب کشور می‌باشد. یکی از راه‌های افزایش بازده آبیاری، استفاده از پلیمرهای سوپر جاذب می‌باشد که به تازگی کاربردی وسیع در دنیا یافته‌اند. هم‌مردمین مستله در انتخاب نوع پلیمر مناسب در کشاورزی، تعیین مدل نفوذ آب در پلیمر می‌باشد. سوپر جاذب باید بتواند در حدائق زمان، حداقل توانایی جذب آب را دارد باشد. جذب سیال به داخل شبکه پلیمر، توسط فرآیند نفوذ کنترل می‌شود. نیروی محرکه در نفوذ، حرکت براونی مولکولی می‌باشد (۴). قوانین فیک توصیف‌گر انتقال ماکروسکوپی مولکول‌ها می‌باشد، ولی در مورد پلیمرها یا ماکرو مولکول‌ها، محدوده‌ای از رفتارهای نفوذی در این مواد مشاهده گردیده است(۷). در پلیمرهای لاستیکی، نفوذ سیال با وزن مولکولی اندک، عموماً توسط قانون فیک، بیان می‌شود (۳، ۴، ۵). در نفوذ فیکی، اغلب گرادیان سیال نفوذ کننده، بعنوان نیروی محرکه، عمل می‌کند و ضریب نفوذ وابسته به غلظت باشد(۶)، فرآیند جذب در پلیمرهای شیشه‌ای علاوه بر پدیده نفوذ مولکولی جزء نفوذ کننده که بر اثر حرکت براونی ایجاد می‌شود، تابع پدیده آسایش مولکولی نیز می‌باشد(۸). برای شناسایی حلتهای انتقال سیال، ابتدا داده‌های میزان تورم بر حسب زمان در دستگاه مختصات رسم می‌شود سپس به طور تقریبی از مطابقت نواحی ابتدایی منحنی داده‌های جذب (حدارصد اولیه منحنی)، با معادله تجربی زیر استفاده می‌شود:

$$\text{رابطه (۱)} \quad \frac{Mt}{M_0} = Kt^n$$

که در آن،  $Mt$  جرم سیال نفوذ کرده در پلیمر در زمان  $t$ ،  $M_0$  جرم سیال جذب شده رعایت تعادل می‌باشد.  $n$  (نمای نفوذی و تعیین کننده مکانیسم نفوذ) و  $K$  (ثابت در برگردانه مشخصه شبکه پلیمر و سیال) است. برای مدل فیکی  $1/5 < n < 1/4$  برای انتقال غیر فیکی  $1 < n < 1/5$  و



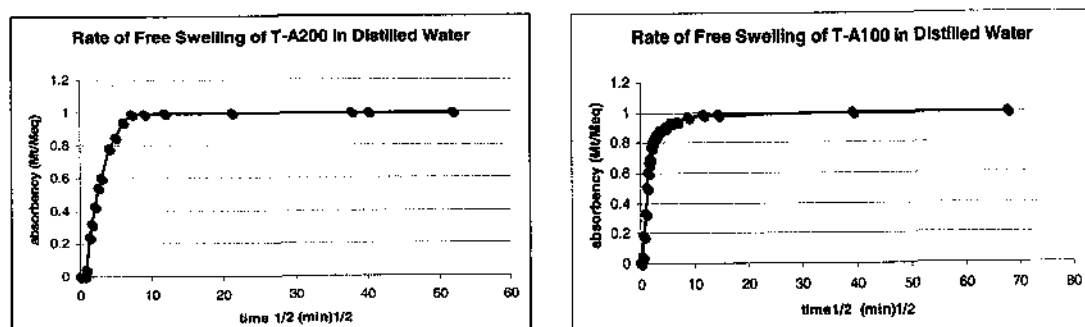
شکل (۱) شدت تورم آزاد پلیمر T-A200 (سمت چپ) و پلیمر T-A100 (سمت راست) در مجاورت آب مقطر

یک از این آزمایشها سه بار تکرار شد و مقادیر مندرج، میانگین نتایج مذکور می‌باشد.

$$\text{رابطه (۳)} \quad \frac{M_t - M_0}{M_0} \times 100 = \frac{Mt}{M_0}$$

این عمل تا زمان ثابت شدن نرخ میزان، ادامه یافت و به این ترتیب داده‌های لازم برای تعیین سینتیک تورم ژل تا رسیدن به حالت تعادلی بدست آمد و تמודار آن براساس درصد تورم به جذر زمان ترسیم گردید.

برای تعیین سینتیک جذب سیال (تعیین تغییرات میزان جذب آب توسط ژل با زمان)، نمونه‌های ۰/۰۵ گرمی از پلیمر تهیه و در کیسه‌های مخصوص در آب مقطر غوطه‌ور شدند. سیس در زمان‌های متوالی، صافی حاوی نمونه‌های در حال تورم، از محیط خارج شده و به مدت یک دقیقه آویزان می‌گردد تا آب اضافی آن (آب بین ذرات و روی سطح آنها) زدوده شود. بعد از آن، سطح نمونه و صافی توسط یک برگ کاغذ خشک کن دو لایه خشک و نمونه با دقیقه ۰/۱ گرم توزین می‌شود. هر



شکل (۲) سینتیک جذب سیال توسط پلیمرهای مورد آزمون

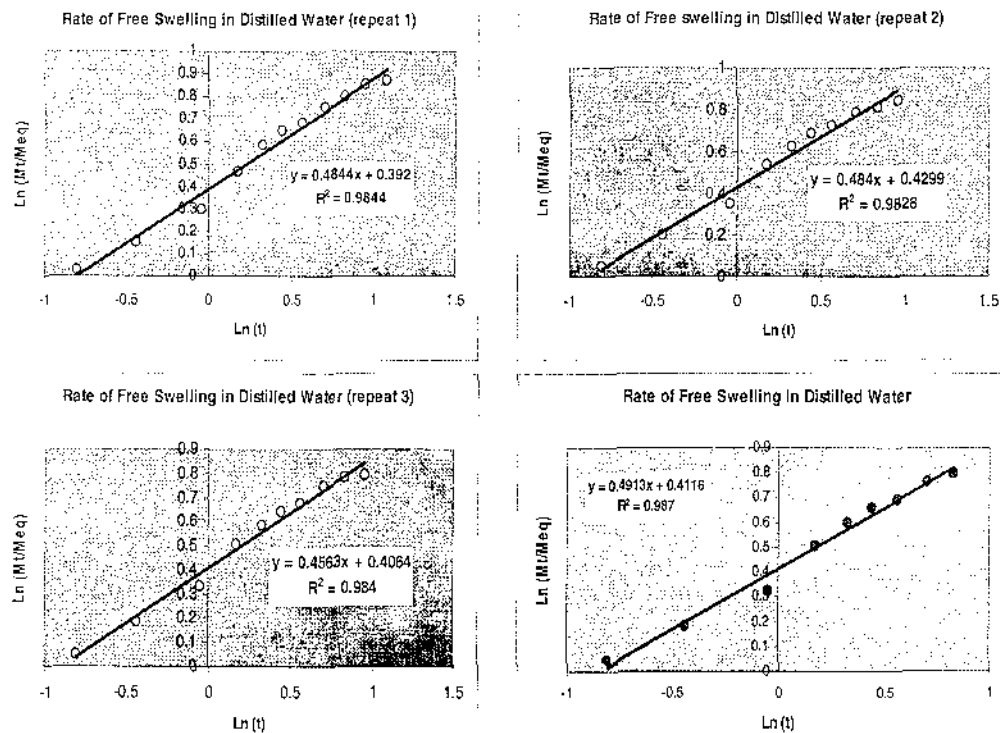
مبدأ آنها معادل  $k$  خواهد بود. به این ترتیب برای محاسبه ضرایب  $n$  و  $K$ ، داده‌های تورمی با تبدیل لگاریتم طبیعی ( $\ln$ )، دوباره محاسبه و رسم شدند.

با محاسبه شیب خطوط تقریباً راست در شکل‌های بالا، نتایج زیر در مورد ضرایب  $n$  و  $k$  برای تورم پلیمرهای مورد مطالعه بدست آمده است.

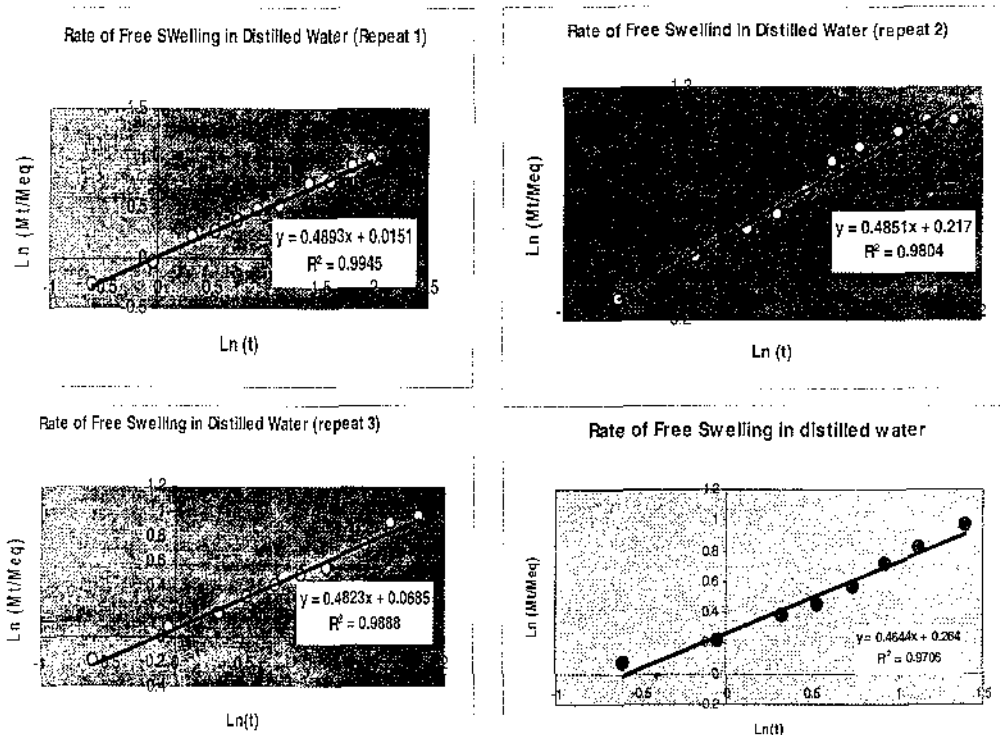
برای محاسبه ضرایب  $n$  و  $k$  داده‌های تورمی با تبدیل لگاریتم دوباره محاسبه و رسم می‌شوند.

$$\text{رابطه (۴)} \quad \log [Mt/Meq] = \log k + n \log t$$

با توجه به رابطه فوق، با قراردادن مقادیر لگاریتمی نمودار سینتیک تورم ژل، نمودارهای خطی بدست می‌آیند که شیب خط معادل  $n$  و عرض از



شکل (۳) شدت تورم آزاد پلیمر T-A100 در مجاورت آب مقطر با سه تکرار



شکل (۴) شدت تورم آزاد پلیمر T-A200 در مجاورت آب مقطر با سه تکرار

## مهمومند مقالات فیزیک و روابط فناوری، آب و گیاه- شفاهی

جدول (۱) نتایج ضرایب  $n$  و  $K$  محاسبه شده از داده های تورمی پلیمرهای مورد آزمون

شماره نمونه	تکرار ۱	تکرار ۲	تکرار ۳	میانگین
$n$ (T-A100)	0/4844	0/4840	0/4563	0/4913
$n$ (T-A200)	0/4893	0/4851	0/4823	0/4644

همانطور که مشاهده می شود، در همه موارد  $n$  کوچکتر از  $1/5$  می باشد و می توان نتیجه گرفت که سازو کار انتقال حلال به درون شبکه های پلیمرهای مذکور، از نوع فیکی می باشد.

## منابع مورد استفاده

- بی تام، ۱۳۷۸. معاونت برنامه ریزی و بودجه، وزارت کشاورزی، کشاورزی ایران در یک نگاه، ۹۱ ص.
  - نادری، ف. ۱۳۷۵. بررسی رفتار تورمی هیدروژلهای در محیط متخلخل. پایان نامه کارشناسی ارشد مهندسی شیمی، دانشکده فنی و مهندسی، دانشگاه تربیت مدرس، ۱۳۰، ص.
  - Buckley, D. J. and M. Berger. 1962. The swelling of polymer system in solvents. 2-Mathematical of diffusion. Journal of Polymer Science, 56:175-187.
  - Crank, J. 1975. The mathematics of diffusion. Oxford Univ, London.
- 5-Duda, J. L. and J. S. Vrentas. 1971. Mathematical analysis of sorption experiments. Journal of ALCHI, 17: 464-469.
- 6- Kazanskiii, K. S. and S.A. Dubrouski. 1992. Chemistry and physics of agricultural hydrogels. Journal of Advance Polymer Science, 101: 97-133.
- 7- Kim, S. J., S. R. Shin., Y. M. Lee, and S. I. Kim. 2003. Swelling characterizations of Chitosan and Polyacrylonitrile semi-interpenetrating polymer network hydrogels. Journal of Applied Polymer Science, 87: 2011-15.
- 8-Rockett, T. J. and V. Rose. 2003. Water diffution in hull materials. Department of Chemical Engineering., Rhode Island University Press, Kingston. 555.